

UNIVERSITÀ DEGLI STUDI DI FIRENZE

SCUOLA DI SCIENZE MATEMATICHE, FISICHE E NATURALI
TESI DI LAUREA TRIENNALE IN INFORMATICA

Riproduzione e analisi di un modello generativo per la creazione di immagini vettoriali

Candidato

Giuliano Gambacorta



Relatore

Prof. Paolo Frasconi

Anno Accademico 2016/2017

Outline

Introduzione

- Variational Autoencoder

- Gaussian Mixture Model

Sketch-RNN

- Dataset

- Modello

- Addestramento

Esempi

- Reti condizionate

- Rete non condizionata

Osservazioni

- Consistenza

Conclusioni

Outline

Introduzione

Variational Autoencoder

Gaussian Mixture Model

Sketch-RNN

Esempi

Osservazioni

Conclusioni

Principi a confronto

► Modelli discriminativi 1

- Regressione lineare
- Support Vector Machine (SVM)
- ...

► Modelli generativi 2

- Hidden Markov Model (HMM)
- Generative Stochastic Networks (GAN)
- Variational Autoencoder (VAE)
- Deep Generative Networks (DGN)

Principi a confronto

▶ Modelli discriminativi 1

- ▶ Regressione lineare
- ▶ Support Vector Machine (SVM)
- ▶ ...

▶ Modelli generativi 2

- ▶ Hidden Markov Model (HMM)
- ▶ Generative Adversarial Networks (GAN)
- ▶ Variational Autoencoder (VAE)
- ▶ Mixture Density Network (MDN)

Principi a confronto

- ▶ **Modelli discriminativi 1**
 - ▶ Regressione lineare
 - ▶ Support Vector Machine (SVM)
 - ▶ ...
- ▶ **Modelli generativi 2**
 - ▶ Hidden Markov Model (HMM)
 - ▶ Generative Adversarial Networks (GAN)
 - ▶ Variational Autoencoder (VAE)
 - ▶ Mixture Density Network (MDN)

Principi a confronto

- ▶ Modelli discriminativi 1
 - ▶ Regressione lineare
 - ▶ Support Vector Machine (SVM)
 - ▶ ...
- ▶ Modelli generativi 2
 - ▶ Hidden Markov Model (HMM)
 - ▶ Generative Adversarial Networks (GAN)
 - ▶ Variational Autoencoder (VAE)
 - ▶ Mixture Density Network (MDN)

Principi a confronto

- ▶ Modelli discriminativi 1
 - ▶ Regressione lineare
 - ▶ Support Vector Machine (SVM)
 - ▶ ...
- ▶ Modelli generativi 2
 - ▶ Hidden Markov Model (HMM)
 - ▶ Generative Adversarial Networks (GAN)
 - ▶ Variational Autoencoder (VAE)
 - ▶ Mixture Density Network (MDN)

Formalmente:

$$f(\mathbf{x}) = \arg \max_y p(\mathbf{y}|\mathbf{x}) \quad (1)$$

$$f(\mathbf{x}) = \arg \max_y p(\mathbf{y}|\mathbf{x})p(\mathbf{y}) \quad (2)$$

Principi a confronto

- ▶ Modelli discriminativi 1
 - ▶ Regressione lineare
 - ▶ Support Vector Machine (SVM)
 - ▶ ...
- ▶ Modelli generativi 2
 - ▶ Hidden Markov Model (HMM)
 - ▶ Generative Adversarial Networks (GAN)
 - ▶ Variational Autoencoder (VAE)
 - ▶ Mixture Density Network (MDN)

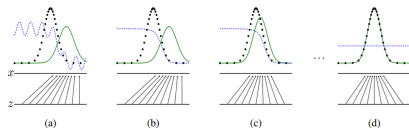
Formalmente:

$$f(\mathbf{x}) = \arg \max_y p(\mathbf{y}|\mathbf{x}) \quad (1)$$

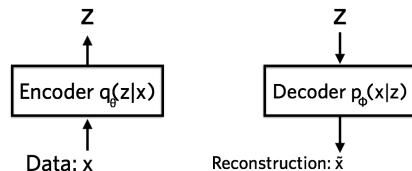
$$f(\mathbf{x}) = \arg \max_y p(\mathbf{y}|\mathbf{x})p(\mathbf{y}) \quad (2)$$

Variabile latente

Esempio: GAN

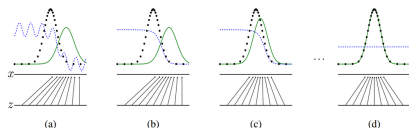


VAE



Variabile latente

Esempio: GAN



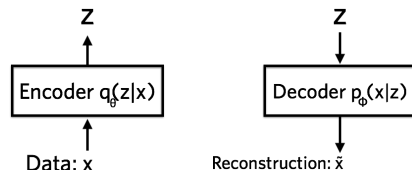
► Reti avversarie

► z arbitraria

► Loss:

$$E_{x \sim p_{data}} [\log D(x)] + E_{z \sim p_z} [\log(1 - D(G(z)))]$$

VAE



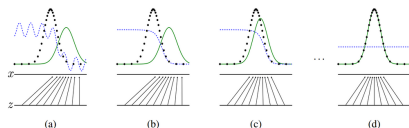
► Encoder - Decoder

► z condizionata

► loss: $-E_{z \sim q} [\log(p(x|z))] + KL(q(z|x) || p(z))$

Variabile latente

Esempio: GAN



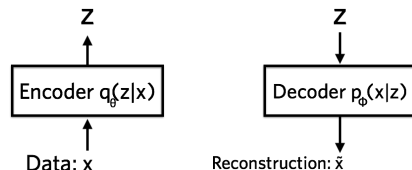
► Reti avversarie

► z arbitraria

► **Loss:**

$$E_{x \sim p_{data}} [\log D(x)] + E_{z \sim p_z} [\log(1 - D(G(z)))]$$

VAE



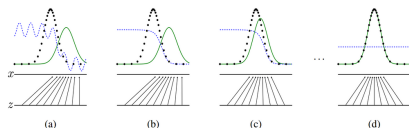
► Encoder - Decoder

► z condizionata

► **loss:** $-E_{z \sim q} [\log(p(x|z))] + KL(q(z|x) || p(z))$

Variabile latente

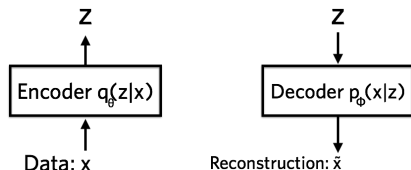
Esempio: GAN



- ▶ Reti avversarie
- ▶ \mathbf{z} arbitraria
- ▶ **Loss:**

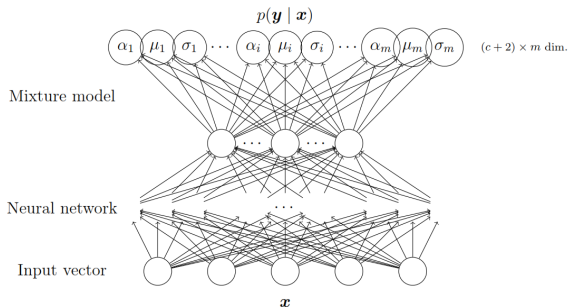
$$E_{\mathbf{x} \sim p_{\text{data}}} [\log D(\mathbf{x})] + E_{\mathbf{z} \sim p_{\mathbf{z}}} [\log(1 - D(G(\mathbf{z})))]$$

VAE



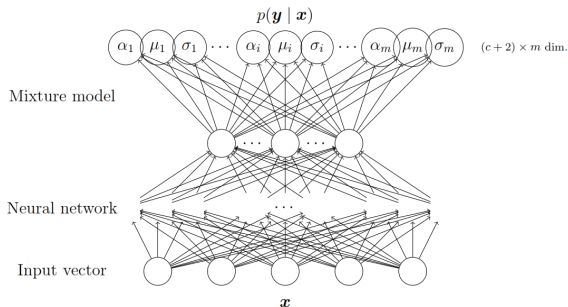
- ▶ Encoder - Decoder
- ▶ \mathbf{z} condizionata
- ▶ **loss:** $-E_{\mathbf{z} \sim q} [\log(p(\mathbf{x}|\mathbf{z}))] + KL(q(\mathbf{z}|\mathbf{x})||p(\mathbf{z}))$

Mixture Density Network



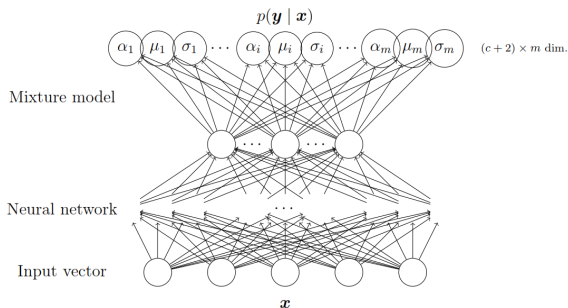
- Combina una rete neurale con una Mistura Gaussiana
- La rete fornisce i parametri della mistura
- **Loss:** $-\log(p(\mathbf{y}|\mathbf{x})) = -\log\left(\sum_{i=1}^m \alpha_i(\mathbf{x})\phi_i(\mathbf{y}|\mathbf{x})\right)$

Mixture Density Network



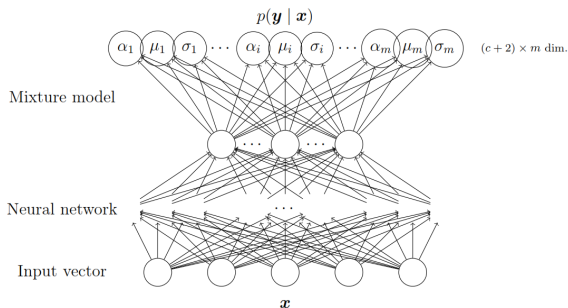
- Combina una rete neurale con una Mistura Gaussiana
- La rete fornisce i parametri della mistura
- **Loss:** $-\log(p(y|x)) = -\log\left(\sum_{i=1}^m \alpha_i(x) \phi_i(y|x)\right)$

Mixture Density Network



- Combina una rete neurale con una Mistura Gaussiana
- La rete fornisce i parametri della mistura
- **Loss:** $-\log(p(y|x)) = -\log\left(\sum_{i=1}^m \alpha_i(x) \phi_i(y|x)\right)$

Mixture Density Network



- Combina una rete neurale con una Mistura Gaussiana
- La rete fornisce i parametri della mistura
- **Loss:** $-\log(p(y|x)) = -\log\left(\sum_{i=1}^m \alpha_i(x) \phi_i(y|x)\right)$

Outline

Introduzione

Sketch-RNN

Dataset

Modello

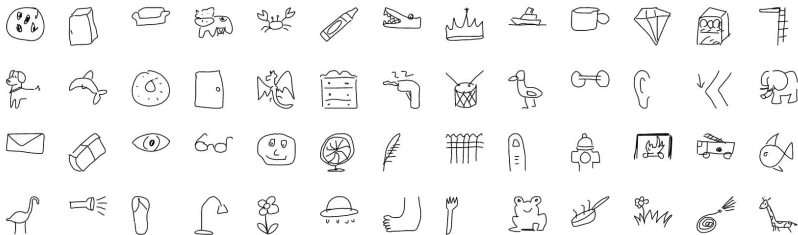
Addestramento

Esempi

Osservazioni

Conclusioni

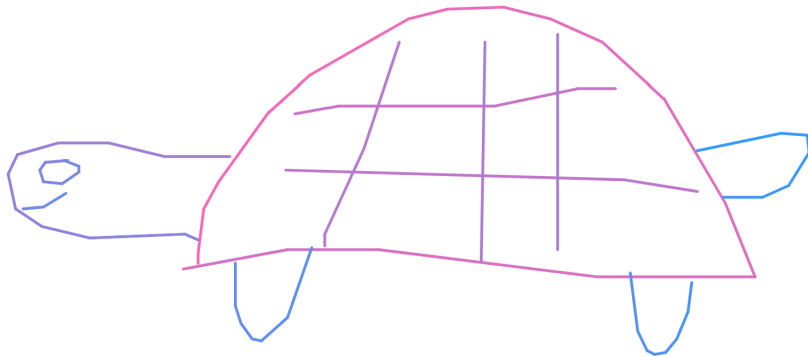
Quick, Draw!



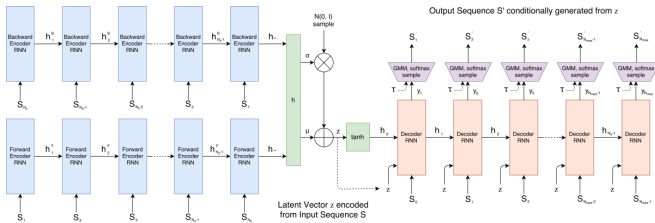
Quick, Draw!

[0, -5, 0]	[-19, 55, 0]	[-22, 25, 0]
[3, -23, 0]	[-21, 44, 0]	[11, -1, 0]
[8, -14, 0]	[0, 6, 1]	[12, -7, 1]
[27, -36, 0]	[86, -105, 0]	[91, 36, 0]
[22, -19, 0]	[-2, 113, 1]	[0, 22, 0]
[53, -29, 0]	[41, -117, 0]	[3, 9, 0]
[21, -5, 0]	[0, 111, 1]	[6, 8, 0]
[30, -1, 0]	[-176, -48, 0]	[5, 1, 0]
[25, 6, 0]	[-35, 0, 0]	[14, -12, 0]
[28, 12, 0]	[-30, -7, 0]	[13, -36, 1]
[33, 29, 0]	[-27, 0, 0]	[171, 13, 0]
[33, 54, 0]	[-22, 6, 0]	[4, 30, 0]
[16, 38, 0]	[-5, 10, 0]	[5, 10, 0]
[-85, 0, 0]	[4, 18, 0]	[4, 2, 0]
[-117, -14, 0]	[14, 9, 0]	[6, -1, 0]
[-49, 0, 0]	[26, 6, 0]	[6, -7, 0]
[-56, 10, 1]	[51, -2, 0]	[6, -14, 0]
[60, -80, 0]	[7, 3, 1]	[2, -15, 1]
[23, -4, 0]	[-70, -41, 0]	[17, -44, 0]
[84, 0, 0]	[-12, 1, 0]	[21, 0, 0]
[45, -9, 0]	[-3, 4, 0]	[14, -6, 0]
[20, 0, 1]	[2, 6, 0]	[11, -17, 0]
[-177, 42, 0]	[10, 1, 0]	[-1, -9, 0]
[182, 5, 0]	[9, -6, 0]	[-14, -1, 0]
[39, 6, 1]	[0, -3, 0]	[-45, 9, 1]
[-160, -77, 0]	[-8, -3, 1]	

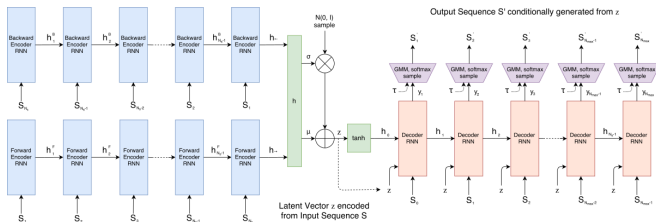
Quick, Draw!



Struttura



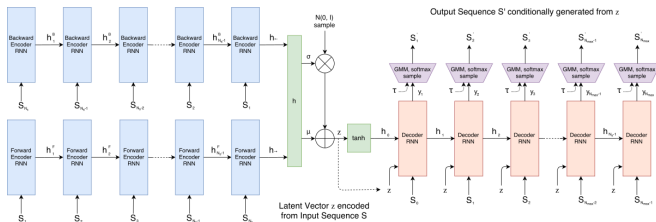
Struttura



Encoder

- Bidirectional LSTM
- Rete densamente connessa:
 μ
- Rete densamente connessa:
 $\log \sigma$

Struttura



Encoder

- Bidirectional LSTM
- Rete densamente connessa: μ
- Rete densamente connessa: $\log \sigma$

Decoder (MDN)

- \tanh inizializza gli stati della LSTM
- LSTM (autoregressiva)
- Gaussian Mixture Model
- $q_k = \frac{\exp(\hat{q}_k)}{\sum_{j=1}^3 \exp(\hat{q}_j)}, k \in 1, 2, 3$

Loss

VAE:

$$L = -E_{\mathbf{z} \sim Q}[\log(P(\mathbf{x}|\mathbf{z}))] + KL(Q(\mathbf{z}|\mathbf{x})||P(\mathbf{z})) \quad (3)$$

Loss

VAE:

$$L = -E_{\mathbf{z} \sim Q}[\log(P(\mathbf{x}|\mathbf{z}))] + KL(Q(\mathbf{z}|\mathbf{x})||P(\mathbf{z})) \quad (3)$$

MDN:

$$L = -\log\left(\sum_{i=1}^m \alpha_i(\mathbf{x}) \phi_i(\mathbf{y}|\mathbf{x})\right) \quad (4)$$

Loss

VAE:

$$L = -E_{\mathbf{z} \sim Q}[\log(P(\mathbf{x}|\mathbf{z}))] + KL(Q(\mathbf{z}|\mathbf{x})||P(\mathbf{z})) \quad (3)$$

MDN:

$$L = -\log\left(\sum_{i=1}^m \alpha_i(\mathbf{x}) \phi_i(\mathbf{y}|\mathbf{x})\right) \quad (4)$$

Combinando:

- Ricostruzione (MDN + softmax): $L_R = L_S + L_P$

$$L_S = -\frac{1}{N_{max}} \sum_{i=1}^{N_S} \log\left(\sum_{j=1}^M \Pi_{j,i \in \mathcal{N}}(\Delta x_i, \Delta y_i | \mu_{x,j,i}, \mu_{y,j,i}, \sigma_{x,j,i}, \sigma_{y,j,i}, \rho_{xy,j,i})\right) \quad (5)$$

$$L_P = -\frac{1}{N_{max}} \sum_{i=1}^{N_{max}} \sum_{k=1}^3 p_{k,i} \log(q_{k,i}) \quad (6)$$

- Divergenza Kullback-Leibler

$$L_{KL} = -\frac{1}{2N_z} (1 + \hat{\sigma} - \mu^2 - \exp(\hat{\sigma})) \quad (7)$$

- Loss: $L_R + w_{KL} L_{KL}$

Loss

VAE:

$$L = -E_{\mathbf{z} \sim Q}[\log(P(\mathbf{x}|\mathbf{z}))] + KL(Q(\mathbf{z}|\mathbf{x})||P(\mathbf{z})) \quad (3)$$

MDN:

$$L = -\log\left(\sum_{i=1}^m \alpha_i(\mathbf{x}) \phi_i(\mathbf{y}|\mathbf{x})\right) \quad (4)$$

Combinando:

- Ricostruzione (MDN + softmax): $L_R = L_s + L_p$

$$L_s = -\frac{1}{N_{max}} \sum_{i=1}^{N_s} \log\left(\sum_{j=1}^M \Pi_{j,i \in \mathcal{N}}(\Delta x_i, \Delta y_i | \mu_{x,j,i}, \mu_{y,j,i}, \sigma_{x,j,i}, \sigma_{y,j,i}, \rho_{xy,j,i})\right) \quad (5)$$

$$L_p = -\frac{1}{N_{max}} \sum_{i=1}^{N_{max}} \sum_{k=1}^3 p_{k,i} \log(q_{k,i}) \quad (6)$$

- Divergenza Kullback-Leibler

$$L_{KL} = -\frac{1}{2N_z} (1 + \hat{\sigma} - \mu^2 - \exp(\hat{\sigma})) \quad (7)$$

- Loss: $L_R + w_{KL} L_{KL}$

Loss

VAE:

$$L = -E_{\mathbf{z} \sim Q}[\log(P(\mathbf{x}|\mathbf{z}))] + KL(Q(\mathbf{z}|\mathbf{x})||P(\mathbf{z})) \quad (3)$$

MDN:

$$L = -\log\left(\sum_{i=1}^m \alpha_i(\mathbf{x}) \phi_i(\mathbf{y}|\mathbf{x})\right) \quad (4)$$

Combinando:

- Ricostruzione (MDN + softmax): $L_R = L_S + L_P$

$$L_S = -\frac{1}{N_{max}} \sum_{i=1}^{N_S} \log\left(\sum_{j=1}^M \Pi_{j,i} \mathcal{N}(\Delta x_i, \Delta y_i | \mu_{x,j,i}, \mu_{y,j,i}, \sigma_{x,j,i}, \sigma_{y,j,i}, \rho_{xy,j,i})\right) \quad (5)$$

$$L_P = -\frac{1}{N_{max}} \sum_{i=1}^{N_{max}} \sum_{k=1}^3 p_{k,i} \log(q_{k,i}) \quad (6)$$

- Divergenza Kullback-Leibler

$$L_{KL} = -\frac{1}{2N_z} (1 + \hat{\sigma} - \mu^2 - \exp(\hat{\sigma})) \quad (7)$$

- Loss: $L_R + w_{KL} L_{KL}$

Loss

VAE:

$$L = -E_{\mathbf{z} \sim Q}[\log(P(\mathbf{x}|\mathbf{z}))] + KL(Q(\mathbf{z}|\mathbf{x})||P(\mathbf{z})) \quad (3)$$

MDN:

$$L = -\log\left(\sum_{i=1}^m \alpha_i(\mathbf{x}) \phi_i(\mathbf{y}|\mathbf{x})\right) \quad (4)$$

Combinando:

- Ricostruzione (MDN + softmax): $L_R = L_S + L_P$

$$L_S = -\frac{1}{N_{max}} \sum_{i=1}^{N_S} \log\left(\sum_{j=1}^M \Pi_{j,i \in \mathcal{N}}(\Delta x_i, \Delta y_i | \mu_{x,j,i}, \mu_{y,j,i}, \sigma_{x,j,i}, \sigma_{y,j,i}, \rho_{xy,j,i})\right) \quad (5)$$

$$L_P = -\frac{1}{N_{max}} \sum_{i=1}^{N_{max}} \sum_{k=1}^3 p_{k,i} \log(q_{k,i}) \quad (6)$$

- Divergenza Kullback-Leibler

$$L_{KL} = -\frac{1}{2N_z} (1 + \hat{\sigma} - \mu^2 - \exp(\hat{\sigma})) \quad (7)$$

- Loss: $L_R + w_{KL} L_{KL}$

Outline

Introduzione

Sketch-RNN

Esempi

Reti condizionate

Rete non condizionata

Osservazioni

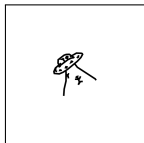
Conclusioni

Generazioni originali

LA RETE PRODUCE IMMAGINI UNICHE E ORIGINALI



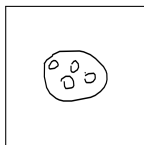
Generazioni originali



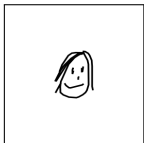
Si noti la figura umana in basso a destra ed i tentativi di ricostruirla

Generazioni originali

INTERPRETA SECONDO I SUOI CANONI FIGURE SCONOSCIUTE



Generazioni originali

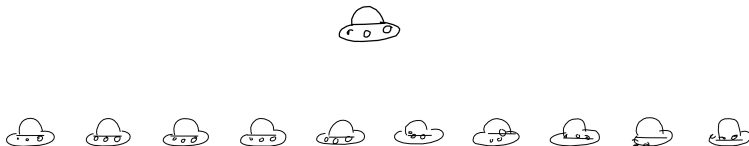


Temperature

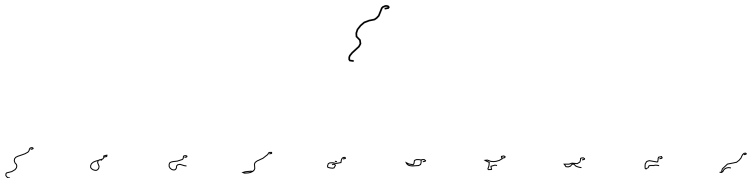


- └ Esempi
 - └ Reti condizionate

Temperature



Temperature



Interpolazioni



- └ Esempi
- └ Reti condizionate

Interpolazioni



Interpolazioni

Temperature

$$\tau = 0.2$$



Temperature

$$\tau = 0.4$$



Temperature

$$\tau = 0.6$$



Temperature

$$\tau = 0.8$$



Temperature

$$\tau = 1$$



Outline

Introduzione

Sketch-RNN

Esempi

Osservazioni

Consistenza

Conclusioni

Perché valorizzare la divergenza KL?

Dataset	$w_{KL} = 1$		$w_{KL} = 0.5$		$w_{KL} = 0.25$		Decoder only
	L_R	L_{KL}	L_R	L_{KL}	L_R	L_{KL}	L_R
cat	-0.98	0.29	-1.33	0.70	-1.46	1.01	-0.57
pig	-1.14	0.22	-1.37	0.49	-1.52	0.80	-0.82
cat, pig	-1.02	0.22	-1.24	0.49	-1.50	0.98	-0.75
crab, face, pig, rabbit	-0.91	0.22	-1.04	0.40	-1.47	1.17	-0.67
face	-1.13	0.27	-1.55	0.71	-1.90	1.44	-0.73
firetruck	-1.24	0.22	-1.26	0.24	-1.78	1.10	-0.90
garden	-0.79	0.20	-0.81	0.25	-0.99	0.54	-0.62
owl	-0.93	0.20	-1.03	0.34	-1.29	0.77	-0.66
mosquito	-0.67	0.30	-1.02	0.66	-1.41	1.54	-0.34
yoga	-0.80	0.24	-1.07	0.55	-1.51	1.33	-0.48

Perché valorizzare la divergenza KL?



Outline

Introduzione

Sketch-RNN

Esempi

Osservazioni

Conclusioni

Progetti correlati

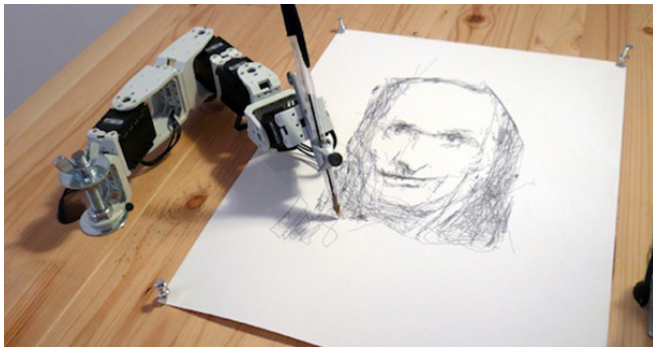
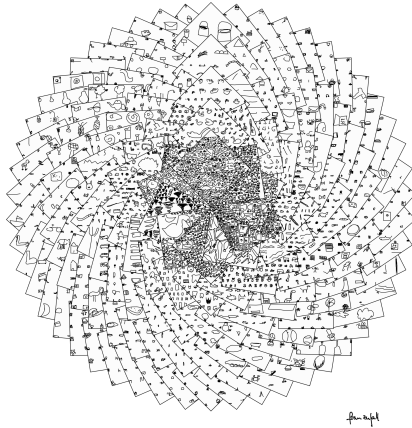


Figura: Paul the Robot

Progetti correlati



Sviluppi futuri

- ▶ Didattica
 - ▶ Disegno
 - ▶ Disturbi dell'apprendimento
- ▶ Arte
 - ▶ Assistenza del processo creativo
- ▶ Tecnica
 - ▶ Assistenza alla progettazione
- ▶ Scienza
 - ▶ Rappresentare il mondo reale

